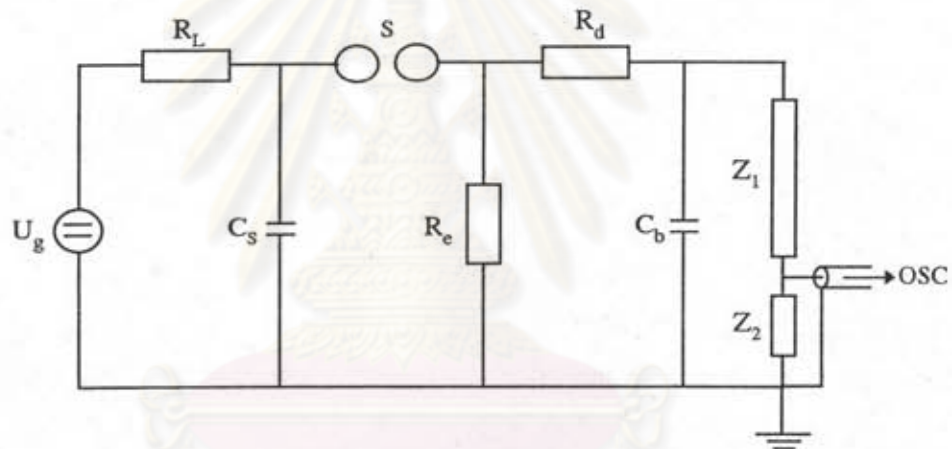




หลักการวัดแรงดันอิมพัลส์

2.1 รูปคลื่นแรงดันอิมพัลส์

แรงดันอิมพัลส์ในที่นี้จะหมายถึงแรงดันอิมพัลส์รูปคลื่นฟ้าผ่าที่สร้างจากเครื่องกำเนิดแรงดันอิมพัลส์ [5] ดังวงจรที่แสดงในรูปที่ 2.1



รูปที่ 2.1 วงจรพื้นฐานของเครื่องกำเนิดแรงดันอิมพัลส์

โดยสัญลักษณ์ต่างๆ มีความหมาย ดังนี้

$U_g$  = แรงดันกระแสตรงของตัวจ่าย

$R_L$  = ตัวความต้านทานจำกัดกระแสอัดประจุ

$C_s$  = ตัวเก็บประจุอิมพัลส์

$S$  = สปรັกแกป

$R_e$  = ตัวความต้านทานคายประจุ

$R_d$  = ตัวความต้านทานหน่วง

$C_b$  = ตัวเก็บประจุโหลด

$Z_1$  = อิมพีแดนซ์ภาคแรงสูงของโวลเตจดีไวเดอร์

$Z_2$  = อิมพีแดนซ์ภาคแรงต่ำของโวลเตจดีไวเดอร์

เนื่องจากแรงดันอิมพัลส์เป็นแรงดันที่สร้างจากวงจรทรานเซียนต์ RC และสมการของแรงดันที่ได้จากวงจรสามารถเขียนเป็นฟังก์ชันทางเวลาได้ว่า [5]

$$U(t) = \frac{U_0}{k} \cdot \frac{1}{(\alpha_2 - \alpha_1)} \cdot [e^{-\alpha_1 t} - e^{-\alpha_2 t}] \quad (2.1)$$

หรือ 
$$U(t) = A \cdot [e^{-\alpha_1 t} - e^{-\alpha_2 t}] \quad (2.2)$$

โดยที่  $\alpha_1, \alpha_2$  คือ รากของสมการ  $s^2 + B_1 s + B_0 = 0$

$$\alpha_1, \alpha_2 = \frac{B_1}{2} \mp \sqrt{\left(\frac{B_1}{2}\right)^2 - B_0} \quad (2.3)$$

เมื่อ 
$$B_0 = \frac{1}{R_d R_c C_b C_s} \quad (2.4)$$

$$B_1 = \frac{R_d C_s + R_c C_s + R_c C_b}{R_d R_c C_b C_s}$$

และ A คือ ค่าคงที่ มีค่าเท่ากับ  $\frac{U_0}{k} \cdot \frac{1}{(\alpha_2 - \alpha_1)}$

จึงเห็นได้ว่า สมการของแรงดันอิมพัลส์จะแปรตามเวลาและมีค่าคงตัวเวลาอยู่ 2 ค่า คือ  $1/\alpha_1$  และ  $1/\alpha_2$  โดยค่าเวลาคงตัว  $1/\alpha_2$  จะมีผลต่อช่วงเวลาหน้าคลื่น ( $T_1$ ) และ ค่าคงตัวเวลา  $1/\alpha_1$  จะมีผลต่อช่วงเวลาหางคลื่น ( $T_2$ ) ตามสมการ (2.5)

$$T_1 = \frac{k_2}{\alpha_2} \quad (2.5)$$

$$T_2 = \frac{k_1}{\alpha_1}$$

เมื่อค่าคงที่  $k_1, k_2, \alpha_1, \alpha_2$  ขึ้นอยู่กับรูปคลื่นแรงดันอิมพัลส์ ในกรณีของรูปคลื่นฟ้าผ่า 1.2/50  $\mu s$  จะมีค่าคงที่ดังกล่าวเป็น [5]

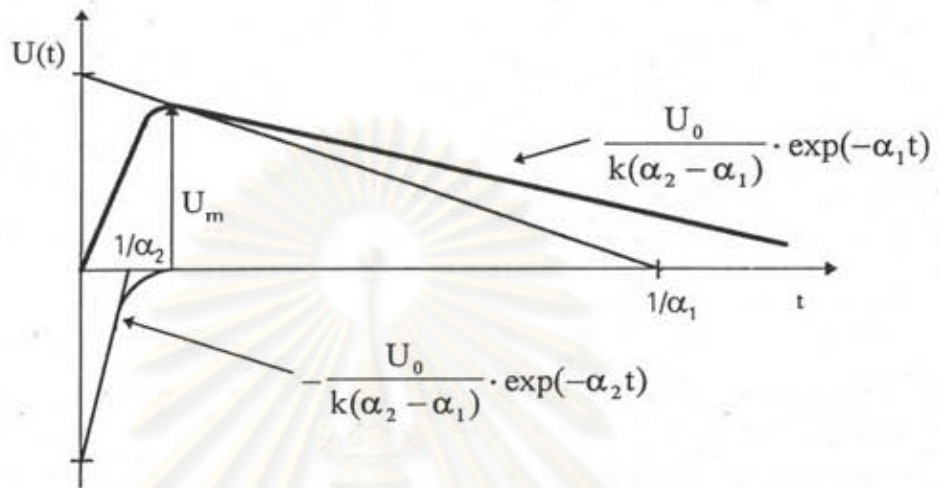
$$k_1 = 0.73$$

$$k_2 = 2.96$$

$$1/\alpha_1 = 68.2 \mu s$$

$$1/\alpha_2 = 0.405 \mu s$$

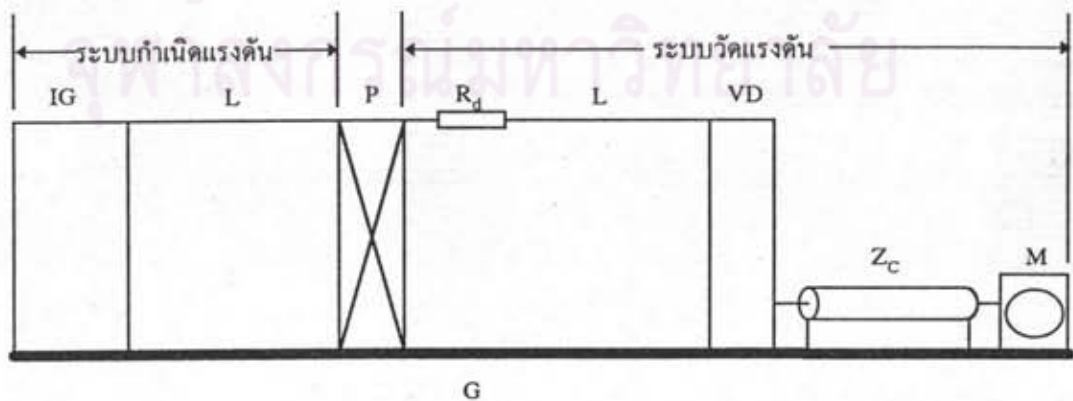
จะเห็นได้ว่าค่าคงตัวเวลา  $1/\alpha_1$  และ  $1/\alpha_2$  นั้นมีค่าแตกต่างกันประมาณ 168 เท่า ทำให้ค่าคงตัวเวลาช่วงหน้าคลื่นไม่มีผลกระทบต่อค่าแรงดันในช่วงหางคลื่นที่ค่าเวลามากๆ ดังแสดงในรูปที่ 2.2



รูปที่ 2.2 แรงดันอิมพัลส์ที่เป็นฟังก์ชันของเวลา

## 2.2 วงจรพื้นฐานวัดแรงดันอิมพัลส์

วงจรพื้นฐานการวัดแรงดันอิมพัลส์จะประกอบด้วยสายนำ (L) ต่อจากจุดที่ต้องการวัดแรงสูง เช่น วัสดุทดสอบ P ซึ่งอาจมีตัวความต้านทานหน่วง  $R_d$  อยู่ที่ต้นสายนำหรือที่อิเล็กทรอนิกส์แรงสูงของโวลเตจดีไวเดอร์ VD เคเบิลวัด  $Z_c$  อุปกรณ์วัดและบันทึกรูปคลื่น M และระบบวัดจะต้องมีระบบสายดิน G ที่ดี ดังในรูปที่ 2.3



รูปที่ 2.3 วงจรพื้นฐานของระบบทดสอบแรงดันทั่วไป



จากวงจรในรูปที่ 2.3 องค์ประกอบในระบบวัดแรงดันจะมีหน้าที่ต่างๆ ดังนี้

1) ตัวความต้านทานหน่วง ทำหน้าที่หน่วงการแกว่งในภาวะทรานเซียนต์ที่เกิดจากค่าความเหนี่ยวนำของสายนำกับค่าเก็บประจุของโวลเตจดีไวเซอร์ ตัวความต้านทานหน่วงที่ใช้เป็นแบบไร้ความเหนี่ยวนำ ซึ่งอาจต่อไว้ที่ต้นสายนำหรือที่อเล็กโทรดแรงสูงของโวลเตจดีไวเซอร์ ในกรณีที่สายนำมีความยาวมาก การต่อตัวความต้านทานหน่วงที่ต้นสายนำ โดยให้มีค่าประมาณเท่ากับค่าเสิร์จอิมพีแดนซ์ของสายนำ จะหน่วงการแกว่งที่เกิดจากค่าอิมพีแดนซ์ที่ไม่เท่ากันของสายนำกับวงจรกำเนิดแรงดันและโวลเตจดีไวเซอร์ [5,6]

2) สายนำระหว่างวัสดุทดสอบกับโวลเตจดีไวเซอร์ โดยทั่วไปโวลเตจดีไวเซอร์จะต้องอยู่ห่างจากอุปกรณ์ทดสอบโดยความยาวของสายนำจะต้องมีความยาวอย่างน้อยเท่ากับความสูงของโวลเตจดีไวเซอร์เพื่อลดผลกระทบเนื่องจากสนามไฟฟ้าที่มีต่อโวลเตจดีไวเซอร์ลง ขนาดของสายนำควรจะต้องมีขนาดโตพอที่จะไม่ทำให้เกิดโคโรนา ซึ่งจะเป็นคลื่นรบกวนต่อระบบวัดแรงดันได้ในวงจรทดสอบทั่วไป สายนำมักอยู่ในแนวระดับ ซึ่งเวลาคลื่นเดินทาง  $\tau_L$  จะมีค่าขึ้นอยู่กับความเร็วแสง  $c$  เนื่องจาก  $Z_L = \sqrt{L_L / C_L}$  และ  $\tau_L = \sqrt{L_L C_L} = l / c$  โดย  $L_L$  คือค่าความเหนี่ยวนำ,  $C_L$  คือค่าเก็บประจุและ  $l$  คือความยาวของสายนำ ตามลำดับ ดังนั้น จะได้ว่า  $Z_L = 1 / c C_L$  ค่าเก็บประจุของสายนำสามารถคำนวณได้ โดยสมมติว่าสายนำเป็นทรงกระบอกมีเส้นผ่าศูนย์กลาง  $d$  วางอยู่สูง  $H$  เหนือระนาบดิน สมการหาค่าเก็บประจุของสายนำคือ [5]

$$C_L = \frac{2\pi\epsilon_0 l}{A} \quad (2.6)$$

$$\text{โดยที่ } A = \ln\left(\frac{4H}{d}\right) - \ln\frac{1}{2}\left(1 + \sqrt{1 + 2(H/l)^2}\right)$$

เนื่องจาก  $c = 1 / \sqrt{\mu_0 \epsilon_0}$  โดยที่  $\mu_0$  และ  $\epsilon_0$  คือค่าเพอร์มิบิลิตีและค่าเพอร์มิตติวิตีของอวกาศตามลำดับ ดังนั้น จะได้ค่าเสิร์จอิมพีแดนซ์ของสายนำเป็น

$$Z_L = \frac{1}{2\pi} \sqrt{\frac{\mu_0}{\epsilon_0}} A \approx 60A \quad (2.7)$$

3) โวลเตจดีไวเซอร์ ทำหน้าที่ลดทอนแรงดันสูงลงมาให้มีขนาดอยู่ในย่านที่อุปกรณ์วัดในภาคแรงต่ำสามารถวัดได้

4) เทเบิลวัด ทำหน้าที่ส่งสัญญาณจากภาคแรงต่ำของโวลเตจดีไวเซอร์มายังอุปกรณ์วัดเพื่อให้เกิดความปลอดภัยต่อผู้ปฏิบัติงานและลดการรบกวนจากสนามแม่เหล็กไฟฟ้า โดยทั่วไปเป็นแบบแกนร่วม (coaxial cable) ที่มีการลดทอนของสัญญาณต่ำ

5) อุปกรณ์วัดและบันทึกรูปคลื่น อาจเป็นโวลต์มิเตอร์วัดค่ายอดหรือออสซิลโลสโคป โดยทั่วไป อุปกรณ์เหล่านี้จะอยู่ในห้องที่มีชิลด์เพื่อลดสัญญาณรบกวนจากภายนอก

6) ระบบสายดิน ทำหน้าที่เชื่อมจุดต่อลงดินของอุปกรณ์ต่างๆ ในระบบทดสอบให้มี ศักย์ไฟฟ้าเท่ากัน ปกติสายดินจะเป็นชนิดที่มีค่าความเหนี่ยวนำต่ำเพื่อให้แรงดันตกในสายดินมีค่าน้อยที่สุด โดยทั่วไปจะใช้แถบโลหะบาง เช่น ทองแดงแผ่นบาง

### 2.3 คุณสมบัติที่ต้องการของระบบวัด

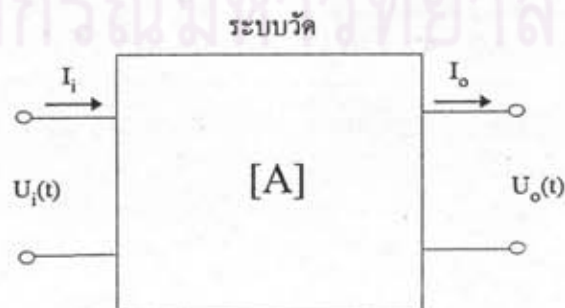
เพื่อให้ผลการวัดขนาดและลักษณะรูปคลื่นของแรงดันมีความถูกต้องจึงจำเป็นต้องมีระบบวัดที่ดี ซึ่งคุณสมบัติของระบบวัดแรงดันทั่วไปจะพิจารณาจากองค์ประกอบที่สำคัญ 2 ประการ คือ

- 1) ผลตอบสนองรูปขึ้น
- 2) สเกลแฟกเตอร์

#### 2.3.1 ผลตอบสนองรูปขึ้น

เพื่อให้เข้าใจลักษณะสมบัติการถ่ายโอน (transfer characteristic) ของโวลเตจดิไวเดอร์ซึ่งขึ้นอยู่กับความถี่ได้ดียิ่งขึ้น จึงควรที่จะได้ทราบถึงคำจำกัดความหรือความหมายที่เกี่ยวข้องบางประการเสียก่อน

โวลเตจดิไวเดอร์ถือเป็นองค์ประกอบเชิงเส้นแบบพาสซีฟ ซึ่งสามารถเขียนแทนได้ด้วย ข่ายวงจร 4 ขั้ว ดังแสดงในรูปที่ 2.4



รูปที่ 2.4 ข่ายวงจร 4 ขั้วที่เขียนแทนระบบวัด

ความสัมพันธ์ระหว่างพารามิเตอร์ขาเข้าและขาออกในเชิงความถี่ สามารถเขียนแทนได้ด้วยสมการ

$$\begin{bmatrix} U_i(s) \\ I_i(s) \end{bmatrix} = \begin{bmatrix} A_{11}(s) & A_{12}(s) \\ A_{21}(s) & A_{22}(s) \end{bmatrix} \cdot \begin{bmatrix} U_o(s) \\ I_o(s) \end{bmatrix} \quad (2.8)$$

เมื่อ  $s$  คือตัวแปร Laplace

ในกรณีที่  $I_o = 0$  จะสามารถเขียนฟังก์ชันถ่ายโอน (transfer function) ได้เป็น

$$H(s) = \frac{U_o(s)}{U_i(s)} = \frac{1}{A_{11}(s)} \quad (2.9)$$

ค่า  $H(s)$  จะแทนผลตอบสนองแอมพลิจูดและเฟสของระบบในเชิงความถี่ ที่ความถี่ต่ำๆ แอมพลิจูดจะมีค่าคงที่ เมื่อความถี่มีค่าเพิ่มขึ้นแอมพลิจูดจะเริ่มมีการเปลี่ยนแปลง ความถี่ที่แอมพลิจูดมีค่าเปลี่ยนแปลงไป  $\pm 3$  dB เรียกว่าความถี่จำกัด (limit frequency) [7] ดังนั้น ฟังก์ชันถ่ายโอนนอร์มัลไลซ์ (normalized transfer function) จะสามารถเขียนแทนได้ด้วย

$$h(s) = \frac{A_{11}(0)}{A_{11}(s)} \quad (2.10)$$

เนื่องจากโวลเตจดีไวเคอร์มักจะมีค่าสเกลแฟกเตอร์ที่ค่อนข้างสูง ดังนั้น การหาผลตอบสนองแอมพลิจูด/ความถี่ (amplitude/frequency response) จึงทำได้ค่อนข้างยาก วิธีที่นิยมในทางปฏิบัติคือ การหาผลตอบสนองรูปขั้น (step response)  $G(t)$  ซึ่งมีความสัมพันธ์กับฟังก์ชันถ่ายโอนเป็น

$$G(t) = L^{-1} \left[ \frac{1}{s} H(s) \right] \quad (2.11)$$

จากผลตอบสนองรูปขั้นที่ได้จะสามารถคำนวณหาค่าแรงดันขาออก เมื่อทราบแรงดันขาเข้า  $V_i(t)$  ได้จาก [5,6]

$$V_o(t) = \int_0^t V_i(t-\tau) \cdot G(\tau) \cdot d\tau \quad (2.12)$$

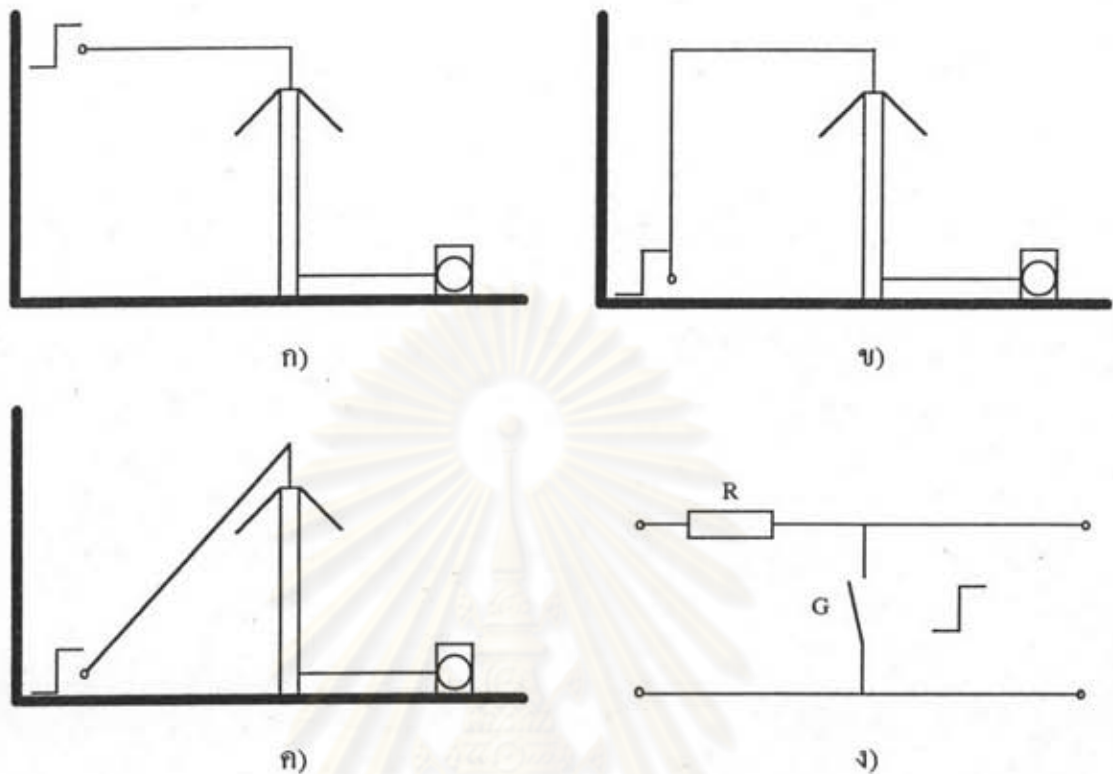
เมื่อ  $V_i'(t-\tau)$  คืออนุพันธ์ของ  $V_i(t-\tau)$  เมื่อเทียบกับ  $\tau$

เวลาตอบสนองของระบบวัดสามารถคำนวณได้จากฟังก์ชันถ่ายโอนนอร์มัลไลซ์ ดังแสดงในสมการ (2.13)

$$T_N = \lim_{s \rightarrow 0} \left[ \frac{1-h(s)}{s} \right] \quad (2.13)$$

โดยวงจรที่ใช้ในการวัดผลตอบสนองรูปขั้นตามข้อกำหนดของมาตรฐาน IEC 60-2(1994) [7] แสดงไว้ในรูปที่ 2.5





รูปที่ 2.5 วงจรวัดผลตอบสนองรูปขั้นสำหรับระบบวัตแรงดัน  
โดยที่ G คือแกปสร้างแรงดันรูปขั้น

วงจรที่มาตรฐานแนะนำไว้คือ วงจรในรูปที่ 2.5ก) และพารามิเตอร์ผลตอบสนองที่ได้จากการวัดผลตอบสนองรูปขั้น มาตรฐานได้กำหนดนิยามไว้ดังนี้

- 1) พารามิเตอร์ผลตอบสนอง (response parameters) หมายถึง พารามิเตอร์ซึ่งได้จากการวัดผลตอบสนองรูปขั้น โดยวิธีที่กำหนด
- 2) จุดเริ่มต้นเสมือนของผลตอบสนองรูปขั้น (virtual origin of a step response,  $O_1$ ) หมายถึง จุดตัดบนแกนเวลาของเส้นตรงที่ลากทาบกับส่วนที่ชันที่สุดของหน้าคลื่นของผลตอบสนองรูปขั้น ในกรณีที่มีการแกว่งบนหน้าคลื่น จะใช้เส้นเฉลี่ยลากผ่านส่วนที่เกิดการแกว่งและใช้เส้นนี้ในการหาเส้นตรงข้างต้น
- 3) ผลตอบสนองรูปขั้นนอร์มัลไลซ์ (normalized step response,  $g(t)$ ) หมายถึง ผลตอบสนองรูปขั้นที่นอร์มัลไลซ์ให้ระดับอ้างอิงมีค่าเป็นหนึ่งหน่วย (ดูรูปที่ 2.6ก)

4) อินทิกรัลผลตอบสนองรูปขั้น (step response integral) หมายถึง อินทิกรัลจาก  $O_1$  ถึง  $t$  ของ 1 ลบด้วยผลตอบสนองรูปขั้น  $g(t)$  (ดูรูปที่ 2.6ข)

$$T(t) = \int_{O_1} (1 - g(\tau)) d\tau$$

5) เวลาตอบสนองจากการทดลอง (experimental response time,  $T_N$ ) หมายถึง ค่าของอินทิกรัลผลตอบสนองรูปขั้นที่  $t_{\max}$

$$T_N = T(t_{\max})$$

6) เวลาตอบสนองบางส่วน (partial response time,  $T_\alpha$ ) หมายถึง ค่าสูงสุดของอินทิกรัลผลตอบสนองรูปขั้น

7) เวลาตอบสนองเศษเหลือ (residual response time,  $T_R(t_i)$ ) หมายถึง เวลาตอบสนองลบด้วยค่าของอินทิกรัลผลตอบสนองรูปขั้นที่เวลาที่กำหนด  $t_i$  โดย  $t_i < t_{\max}$

$$T_R(t_i) = T_N - T(t_i)$$

8) ส่วนพุ่งเกิน (overshoot,  $\beta$ ) หมายถึง ค่าสูงสุดของผลตอบสนองรูปขั้นนอร์มัลไลซ์  $g(t)$  ที่เกินหนึ่งหน่วย

9) เวลาผิดเพี้ยนเริ่มต้น (initial distortion time,  $T_O$ ) หมายถึง พื้นที่ซึ่งถูกล้อมรอบด้วยเส้นศูนย์, ผลตอบสนองรูปขั้นนอร์มัลไลซ์  $g(t)$  และเส้นตรงที่ใช้หา  $O_1$

10) เวลาเข้าสู่ภาวะคงตัว (settling time,  $t_s$ ) หมายถึง เวลาที่สั้นที่สุดที่เวลาตอบสนองเศษเหลือ  $T_R(t_i)$  มีค่าน้อยกว่า 2 % ของ  $t$

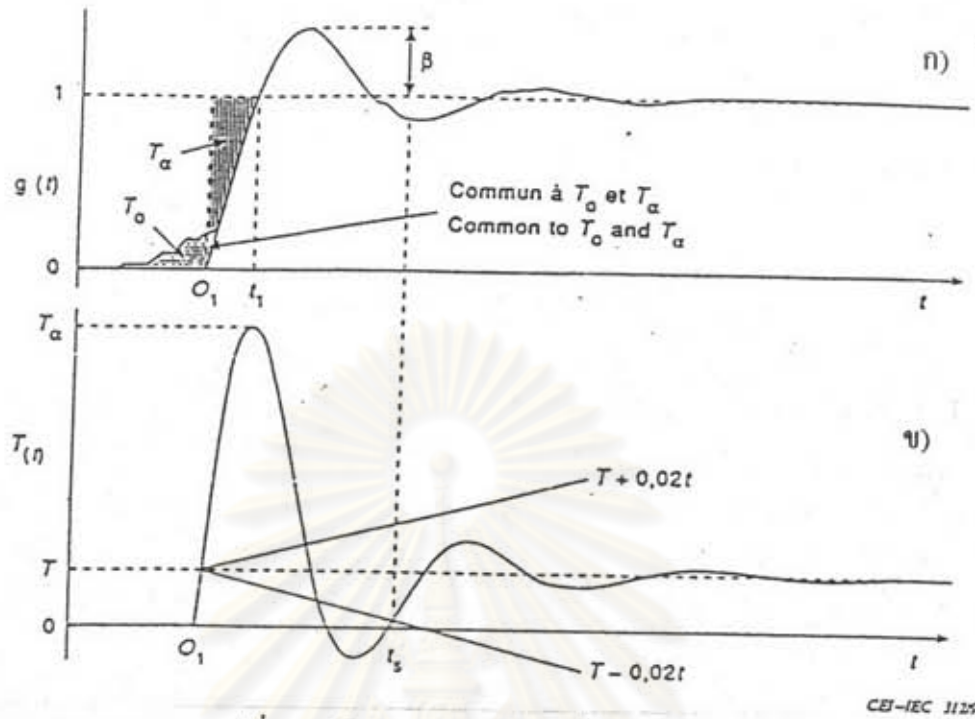
$$|T_N - T(t)| < 0.02t_s$$

สำหรับทุกๆ ค่าของ  $t$  ในช่วงจาก  $t_s$  ถึง  $t_{\max}$

เนื่องจากในมาตรฐานไม่ได้ระบุค่าที่แน่นอนของพารามิเตอร์ผลตอบสนองของระบบวัดแรงดันอิมพัลส์รูปคลื่นฟ้าผ่า แต่ได้ให้ข้อแนะนำเกี่ยวกับพารามิเตอร์เหล่านี้ไว้ [7] ดังนี้

ในการฉีที่วัดแรงดันอิมพัลส์รูปคลื่นเต็มและรูปคลื่นตัดที่หางคลื่น ที่ค่าเวลาหน้าคลื่น  $T_1$  ส่วนพุ่งเกิน  $\beta$  และเวลาตอบสนองบางส่วน  $T_\alpha$  ควรอยู่ในเงื่อนไขที่ว่า  $\beta$  และ  $T_\alpha/T_1$  จะต้องอยู่ในบริเวณส่วนที่แรเงาของรูปที่ 2.7

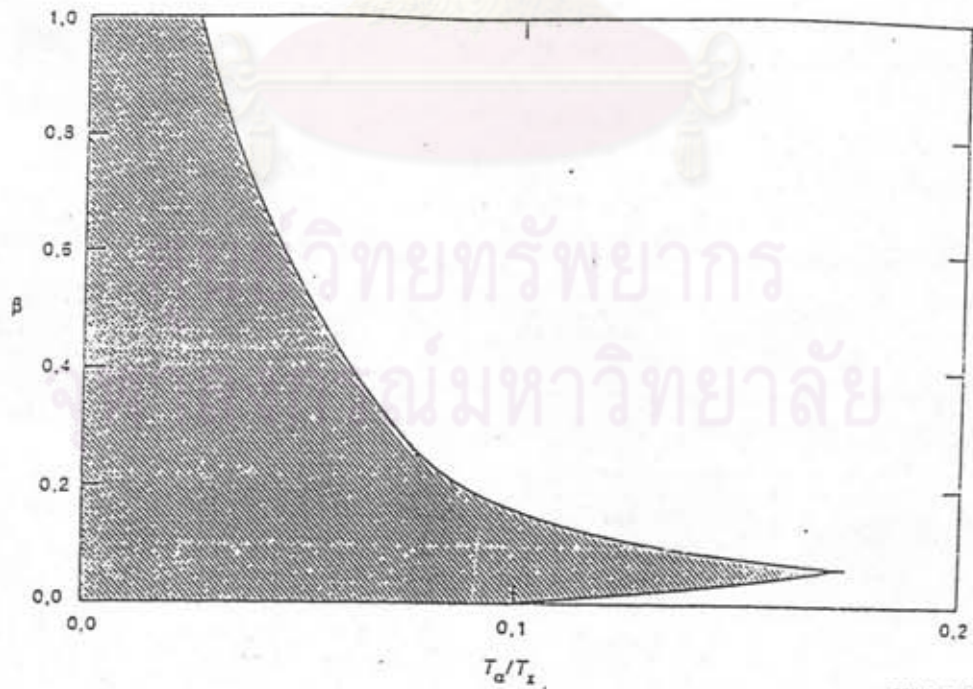




รูปที่ 2.6 นิยามของพารามิเตอร์ผลตอบสอง [7]

ก) เมื่อเทียบกับ  $g(t)$

ข) เมื่อเทียบกับ  $T(t)$



รูปที่ 2.7 ความสัมพันธ์ระหว่าง  $\beta$  กับ  $T_\alpha/T_x$  [7]

โดยที่  $T_x$  คือ เวลาค้นคืนของแรงดันอิมพัลส์ที่ต้องการวัด

ในกรณีที่วัดแรงดันอิมพัลส์รูปคลื่นตัดที่หน้าคลื่นในช่วงเวลาคลื่นตัด  $T_C$  พารามิเตอร์ผลตอบสนองควรอยู่ในเงื่อนไขต่อไปนี้

- เวลาตอบสนองและเวลาตอบสนองบางส่วนควรมีค่า

$$T_\alpha - 0.03T_C \leq T_N \leq 0.03T_C$$

- เวลาเข้าสู่ภาวะคงตัวควรมีค่า

$$t_s \leq T_C$$

- เวลาคิดเพี้ยนเริ่มต้นควรมีค่า

$$T_0 \leq 0.005T_C$$

## 2.3.2 สเกลแฟกเตอร์

### 2.3.2.1 ความหมายของสเกลแฟกเตอร์

ความหมายของสเกลแฟกเตอร์ของระบบวัด มาตรฐาน IEC 60-2 (1994) [7] ให้นิยามไว้ ดังนี้

“สเกลแฟกเตอร์ หมายถึง ตัวประกอบที่นำไปคูณกับค่าแรงดันที่อ่านได้จากอุปกรณ์วัด เพื่อหาค่าแรงดันป้อนเข้า”

มาตรฐาน ได้กำหนดคุณสมบัติของสเกลแฟกเตอร์ที่สำคัญ 2 ประการ คือ

1) ความไม่แน่นอน (uncertainty)

ในกรณีวัดค่ายอดของแรงดันอิมพัลส์รูปคลื่นเต็มและรูปคลื่นตัดที่หางคลื่น จะต้องมีความไม่แน่นอนในการวัดค่ายอดไม่เกิน  $\pm 3 \%$

ในกรณีวัดค่ายอดของแรงดันอิมพัลส์รูปคลื่นตัดที่หน้าคลื่น จะต้องมีความไม่แน่นอนในการวัดค่ายอดไม่เกิน  $\pm 5 \%$

2) ความมีเสถียรภาพ (stability)

ในกรณีวัดค่ายอดของแรงดันอิมพัลส์รูปคลื่นเต็มและรูปคลื่นตัดที่หางคลื่น ค่าสเกลแฟกเตอร์จะต้องเปลี่ยนแปลงไม่เกิน  $\pm 1 \%$  ตลอดช่วงแรงดันใช้งาน

ในกรณีวัดค่ายอดของแรงดันอิมพัลส์รูปคลื่นตัดที่หน้าคลื่น ค่าสเกลแฟกเตอร์จะต้องเปลี่ยนแปลงไม่เกิน  $\pm 3 \%$  ตลอดช่วงแรงดันใช้งาน

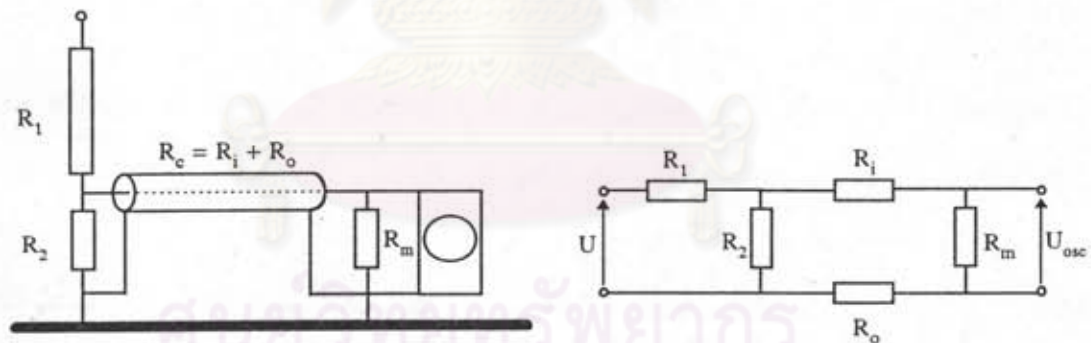
### 2.3.2.2 การหาสเกลแฟกเตอร์

การหาสเกลแฟกเตอร์ของโวลต์จีโอไมเตอร์ สามารถหาได้จากวิธีใดวิธีหนึ่งต่อไปนี้

- 1) การวัดค่าแรงดันขาเข้าและขาออกพร้อมกัน
- 2) ใช้วงจรบริดจ์
- 3) คำนวณจากค่าอิมพีแดนซ์ที่วัดได้

การหาสเกลแฟกเตอร์ของโวลต์จีโอไมเตอร์โดยการใช้วิธีคำนวณจากค่าอิมพีแดนซ์ที่วัดได้ มาตรฐาน IEC 60-2(1994) ได้ให้ข้อแนะนำไว้ ดังนี้

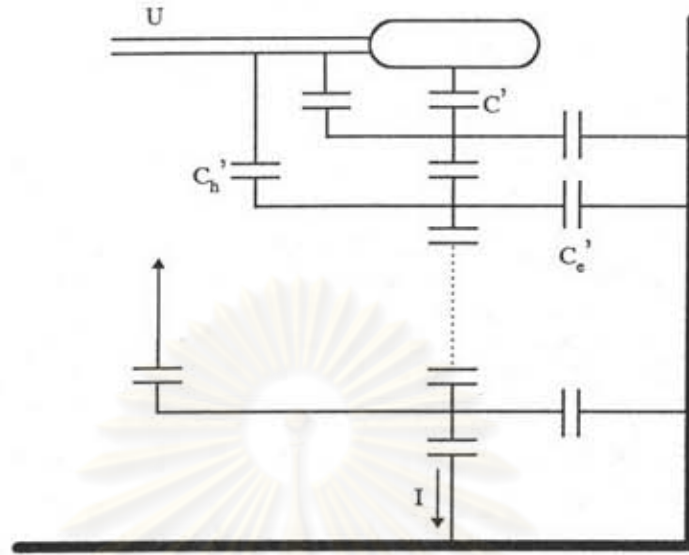
กรณีของโวลต์จีโอไมเตอร์แบบความต้านทาน ค่าความต้านทานของภาคแรงสูงและภาคแรงต่ำสามารถวัดได้โดยใช้แรงดันต่ำกระแสตรง ซึ่งอาจเป็น Wheatstone bridge หรือโอห์มมิเตอร์ที่มีค่าความแม่นยำสูง สำหรับเคเบิลวัดที่มีความยาวค่อนข้างมาก ค่าความต้านทานกระแสตรงของตัวนำ (ตัวนำในและซีลด์) จะทำให้เกิดการแบ่งแรงดันระหว่าง  $R_2$  และ  $R_m$  ซึ่งอาจจะทำให้แรงดันที่ตกคร่อม  $R_m$  ลดลง ดังแสดงในรูปที่ 2.8 ดังนั้น ค่าความต้านทานของเคเบิลวัดควรนำมาพิจารณาด้วย [5,6]



รูปที่ 2.8 ผลของความต้านทานของเคเบิลวัดที่มีต่อสเกลแฟกเตอร์ของโวลต์จีโอไมเตอร์แบบความต้านทาน

ในกรณีของโวลต์จีโอไมเตอร์แบบตัวเก็บประจุ ค่าเก็บประจุสเตรย์จะมีผลต่อสเกลแฟกเตอร์ของโวลต์จีโอไมเตอร์ ซึ่งตัวที่กำหนดสเกลแฟกเตอร์ของโวลต์จีโอไมเตอร์คือกระแสที่ไหลไปยังภาคแรงต่ำ รูปที่ 2.9 แสดงภาพสเกตช์ของตัวเก็บประจุภาคแรงสูง ซึ่งประกอบด้วยค่าเก็บประจุย่อย  $C'$  ต่ออนุกรมกันและมีค่าเก็บประจุสเตรย์  $C_n'$  และ  $C_o'$  ต่ออยู่ในจำนวนที่เท่ากัน





รูปที่ 2.9 ภาพสเกตซ์ของค่าเก็บประจุสมมูล  $C_{eq}$  ของโวลเตจดีไวเซอร์แบบตัวเก็บประจุ

ในภาวะคงตัว สามารถหาค่าเก็บประจุสมมูล (equivalent capacitance)  $C_{eq}$  ของตัวเก็บประจุภาคแรงสูงได้จากสมการ [5,6]

$$C_{eq} = \frac{I}{\omega U} \tag{2.14}$$

$$C_{eq} = C \frac{1 + \frac{C_h}{4C}}{1 + \frac{C_e}{6C} + \frac{C_h}{12C}} \tag{2.15}$$

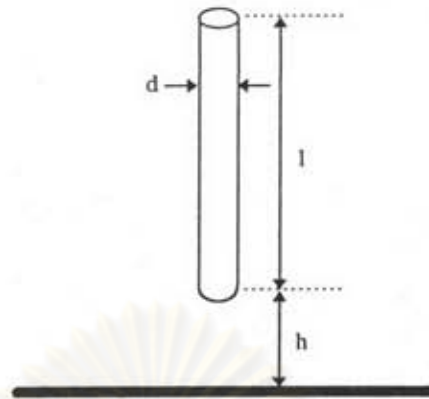
โดยที่  $C = C'/n$ ;  $C_e = nC_e'$ ;  $C_h = nC_h'$ ;  $n \gg 1$

เนื่องจาก  $C_h$  มีค่าน้อยกว่า  $C_e$  มาก ดังนั้น  $C_{eq}$  จึงมีค่าน้อยกว่า  $C$  เสมอ และถ้าให้  $C_h = 0$  จะสามารถประมาณ  $C_{eq}$  ได้เป็น

$$C_{eq} = C \frac{1}{1 + \frac{C_e}{6C}}$$

$$C_{eq} = C \left( 1 - \frac{C_e}{6C} \right) \tag{2.16}$$

โดย  $C_e$  สามารถหาได้จากการคำนวณ [5] โดยสมมติให้ตัวเก็บประจุภาคแรงสูงเป็นท่อโลหะทรงกระบอกวางอยู่เหนือพื้นระนาบ ดังภาพสเกตซ์ในรูปที่ 2.10 ซึ่งสมการที่ใช้หาค่าเก็บประจุ คือ



รูปที่ 2.10 ภาพสเกตช์ของท่อทรงกระบอกวางอยู่เหนือพื้นระนาบ

$$C_e = \frac{2\pi\epsilon l}{\ln\left(\frac{2l}{d} \sqrt{\frac{4h+1}{4h+3l}}\right)} \quad (2.17)$$

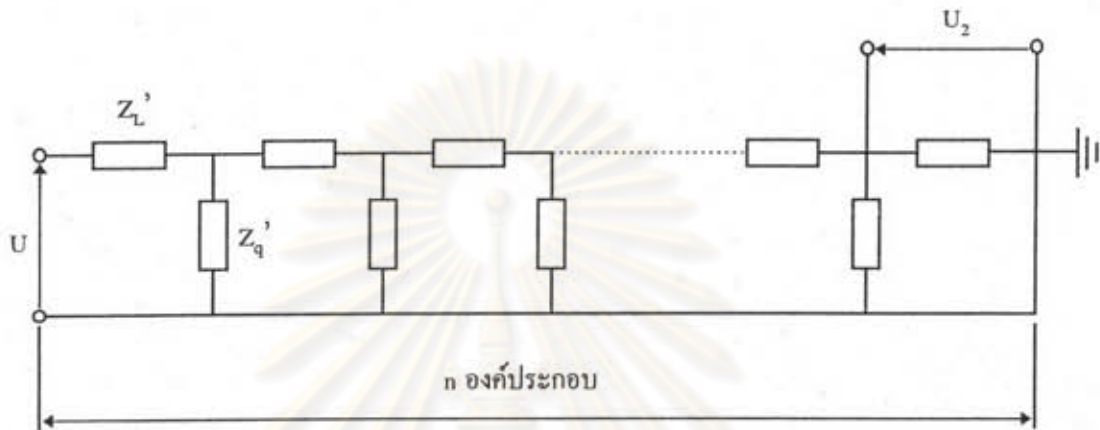
เนื่องจากไม่สามารถวัดค่า  $C_h$  และ  $C_e$  ได้โดยตรง ดังนั้น การวัดค่าเก็บประจุภาคแรงสูงควรจะวัดในตำแหน่งที่โวลเตจดีไวเคอร์ใช้งานจริง สำหรับโวลเตจดีไวเคอร์แบบตัวเก็บประจุหรือแบบตัวเก็บประจุมีความต้านทานหน่วง ค่าเก็บประจุภาคแรงสูงอาจวัดโดยใช้ Schering bridge หรือ transformer ratio-arm bridge โดยไม่แนะนำให้ใช้ RLC bridge แรงต่ำ เพราะสายวัดและค่าเก็บประจุสเตรย์จะถูกรวมเข้าในการวัด ซึ่งทำให้ค่าสเกลแพกเตอร์ที่ได้ผิดพลาด นอกจากนี้ ค่าเก็บประจุของเคเบิลวัดยังมีผลต่อสเกลแพกเตอร์ของโวลเตจดีไวเคอร์ ซึ่งต้องนำมาพิจารณาคำนวณด้วย

#### 2.4 โวลเตจดีไวเคอร์แบบต่างๆ

โวลเตจดีไวเคอร์เป็นส่วนประกอบที่สำคัญมากส่วนหนึ่งของระบบวัด การออกแบบโวลเตจดีไวเคอร์จะต้องคำนึงถึงระดับแรงดันใช้งาน ชนิดของแรงดัน และค่าอิมพีแดนซ์ขาเข้า [8] โวลเตจดีไวเคอร์ทั่วไปจะประกอบสร้างจากตัวความต้านทานหรือตัวเก็บประจุหรือแบบผสม องค์ประกอบเหล่านี้จะติดตั้งอยู่ในกระบอกฉนวน ซึ่งความสูงจะขึ้นอยู่กับค่าแรงดันวาบไฟตามผิวของแรงดันที่ใช้งาน ในกรณีของแรงดันอิมพัลส์รูปคลื่นฟ้าผ่าจะใช้ระยะวาบไฟตามผิวหรือระยะฉนวน โดยเลือกใช้ระยะอาร์กตามผิวฉนวนเฉพาะ 2 ถึง 2.5 m/MV [5,6]

### 2.4.1 วงจรสมมูลทั่วไป

วงจรสมมูลทั่วไปของโวลเตจดีไวเซอร์จะประกอบด้วยองค์ประกอบย่อยต่อกันในลักษณะเป็นลูกโซ่ ดังแสดงในรูปที่ 2.11 [5]



รูปที่ 2.11 วงจรสมมูลทั่วไปของโวลเตจดีไวเซอร์

โดยองค์ประกอบย่อย  $Z_L'$  จะแทนองค์ประกอบที่ต้องการสร้าง ซึ่งอาจเป็นค่าความต้านทาน  $R'$  หรือค่าเก็บประจุ  $C'$  หรือทั้ง 2 อย่าง ส่วนองค์ประกอบย่อย  $Z_q'$  จะแทนค่าเก็บประจุสเตรย์ลงดิน  $C_e'$  ซึ่งเกิดจากสนามไฟฟ้าเนื่องจากศักย์ไฟฟ้าของโวลเตจดีไวเซอร์ ซึ่งค่าอิมพีแดนซ์รวมทั้งหมดสามารถหาได้จาก

$$Z_L = \sum Z_L = nZ_L$$

$$Z_q = \sum \left( \frac{1}{Z_q} \right)^{-1} = \frac{Z_q}{n} \quad (2.18)$$

โดยฟังก์ชันถ่ายโอนนอร์มัลไลซ์สามารถเขียนได้เป็น

$$h(s) = \frac{n \cdot U_2}{U} = n \frac{\sinh \frac{1}{n} \sqrt{Z_L(s) / Z_q(s)}}{\sinh \sqrt{Z_L(s) / Z_q(s)}} \quad (2.19)$$

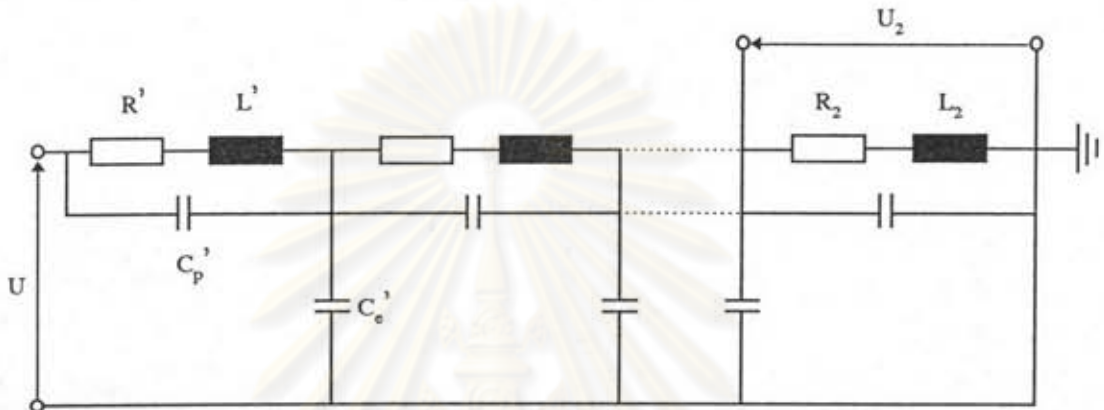
และผลตอบสนองรูปขั้นนอร์มัลไลซ์หาได้จาก

$$g(t) = L^{-1} \left[ \frac{1}{s} h(s) \right] \quad (2.20)$$



### 2.4.2 โวลเตจดิไวเดอร์แบบความต้านทาน

รูปที่ 2.12 แสดงวงจรสมมูลของโวลเตจดิไวเดอร์แบบความต้านทาน โดยประกอบด้วยค่าความเหนี่ยวนำ  $L'$  ของค่าความต้านทาน  $R'$  ต่อขนานกับค่าเก็บประจุ  $C_p'$



รูปที่ 2.12 วงจรสมมูลของโวลเตจดิไวเดอร์แบบความต้านทาน

จากวงจรสมมูล สามารถหาฟังก์ชันถ่ายโอนนอร์มัลไลซ์ได้เป็น [5,6]

$$h(s) = n \frac{\sinh \frac{1}{n} \sqrt{\frac{(R+sL) \cdot sC_e}{1+(R+sL) \cdot sC_p}}}{\sinh \sqrt{\frac{(R+sL) \cdot sC_e}{1+(R+sL) \cdot sC_p}}} \quad (2.21)$$

และจากสมการ (2.20) จะสามารถหาผลตอบสนองรูปขั้นนอร์มัลไลซ์ได้เป็น [5,6]

$$g(t) = 1 + 2e^{-at} \sum_{k=1}^{\infty} (-1)^k \frac{\cosh(b_k t) + \frac{a}{b_k} \sinh(b_k t)}{1 + \frac{C_p}{C_e} k^2 \pi^2} \quad (2.22)$$

โดยที่  $a = R/2L$

$$b_k = \sqrt{a^2 - \frac{k^2 \pi^2}{LC_e [1 + (C_p/C_e) k^2 \pi^2]}}$$

ในกรณีที่ค่าความต้านทานมีค่าสูงพอที่จะทำให้ค่า  $L/R$  มีค่าน้อยมากๆ และ  $C_p \ll C_e$  ซึ่งสามารถที่จะละผลของ  $L$  และ  $C_p$  ได้ ดังนั้น จึงสามารถเขียนสมการของฟังก์ชันถ่ายโอนนอร์มัลไลซ์ได้เป็น [5,6]

$$h(s) = n \frac{\sinh \frac{1}{n} \sqrt{sRC_e}}{\sinh \sqrt{sRC_e}} \quad (2.23)$$

และจากสมการ (2.20) จะสามารถหาผลตอบสนองรูปขั้วนอร์มัลไลซ์ได้เป็น [5,6]

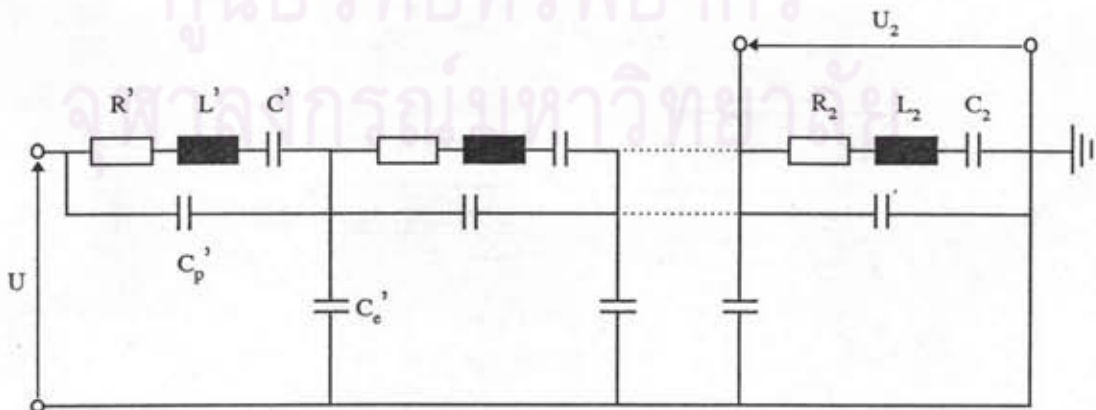
$$g(t) = 1 + 2 \sum_{k=1}^{\infty} (-1)^k \exp\left(-\frac{k^2 \pi^2}{RC_e} t\right) \quad (2.24)$$

เวลาตอบสนองสามารถคำนวณได้โดยแทนค่า  $h(s)$  ลงในสมการ (2.13) ซึ่งจะได้ผลเป็น

$$T_N = \frac{RC_e}{6} \quad (2.25)$$

#### 2.4.3 โวลเตจดีไวเดอร์แบบตัวเก็บประจุ

การวิเคราะห์หาผลตอบสนองของโวลเตจดีไวเดอร์แบบตัวเก็บประจุสามารถหาได้ในทำนองเดียวกับโวลเตจดีไวเดอร์แบบความต้านทาน โดยใช้วงจรสมมูลในรูปที่ 2.13 ซึ่งตัวเก็บประจุถูกแทนด้วยค่าเก็บประจุ  $C'$  และค่าความเหนี่ยวนำ  $L'$  ส่วนค่าความต้านทาน  $R'$  ที่ต่ออนุกรมอยู่เป็นการแทนตัวประกอบความสูญเสียในตัวเก็บประจุหรืออาจเป็นตัวความต้านทานที่ต่ออนุกรมเข้าไปจริง



รูปที่ 2.13 วงจรสมมูลของโวลเตจดีไวเดอร์แบบตัวเก็บประจุ

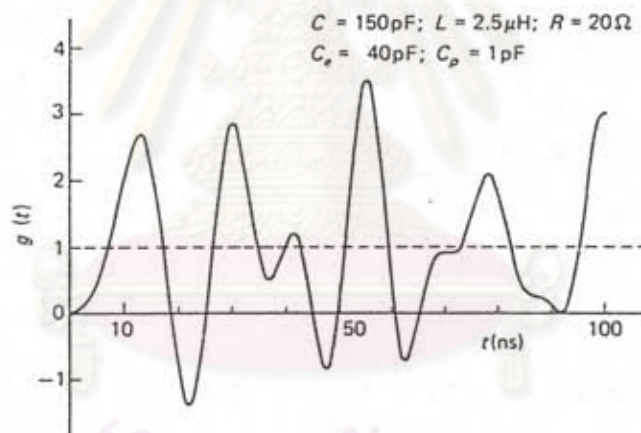
ดังนั้น ผลตอบสนองรูปขั้วนอร์มัลไลซ์สามารถเขียนได้เป็น [5,6]

$$g(t) = 1 - \frac{C_e}{6(C+C_p)} + 2e^{-at} \sum_{k=1}^{\infty} (-1)^k \frac{\cosh(b_k t) + \frac{a}{b_k} \sinh(b_k t)}{AB} \quad (2.26)$$

โดยที่  $A = \left( 1 + \frac{C_p}{C} + \frac{C_e}{Ck^2\pi^2} \right)$ ,  $a = R/2L$

$$B = \left( 1 + \frac{C_p k^2 \pi^2}{C_e} \right), \quad b_k = \sqrt{a^2 - \frac{k^2 \pi^2}{LC_e [1 + (C_p/C_e)k^2 \pi^2]}}$$

ตัวประกอบความสูญเสีย  $\tan \delta = \omega R' C' = \omega RC$  สามารถหาได้จากการวัด ซึ่งเมื่อแทนลงไปนสมการ (2.26) จะได้ผลตอบสนองรูปขั้วดังแสดงในรูปที่ 2.14 [5]



รูปที่ 2.14 ผลตอบสนองรูปขั้วของโวลเตจดีไวเดอร์แบบตัวเก็บประจุที่ได้จากการคำนวณ [5]

การแกว่งที่เกิดขึ้นในผลตอบสนองรูปขั้วมีความสัมพันธ์โดยตรงกับเวลากลับเดินทาง  $\tau = \sqrt{LC_e}$  ในตัวโวลเตจดีไวเดอร์ ซึ่งสามารถคำนวณได้โดยประมาณจากความเร็วแสง [6] โดยความถี่ของการแกว่งสามารถหาได้จาก [8]

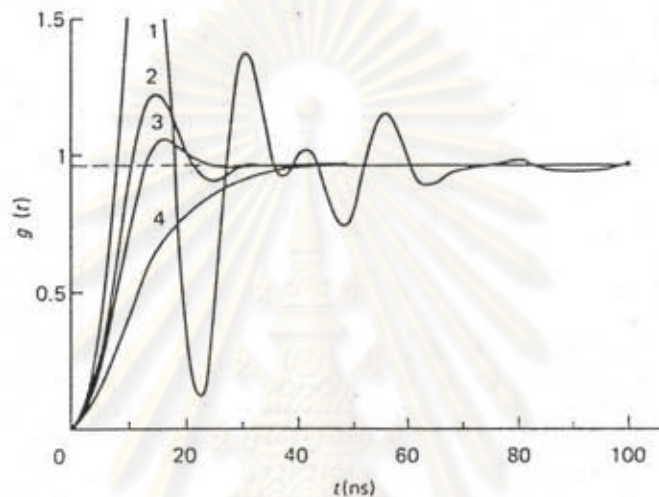
$$f = \frac{1}{2\tau} = \frac{1}{2\sqrt{LC_e}} \quad (2.27)$$

จากรูปที่ 2.14 จะเห็นได้ว่าโวลเตจดีไวเดอร์แบบตัวเก็บประจุมีความไวต่อแรงดันขาเข้าที่มีเวลาขึ้นเร็วๆ และแรงดันขาออกจะเกิดแกว่งอย่างมาก ซึ่งเมื่อต่อเข้าไปในระบบวัดจะเกิด



การเรโซแนนซ์กับสายนำ ทำให้ระบบเกิดการแกว่ง ดังนั้น โวลเตจดีไวเคอร์แบบตัวเก็บประจุ จึงไม่สามารถที่จะวัดแรงดันอิมพัลส์รูปคลื่นตัด แต่ยังคงวัดค่ายอดแรงดันอิมพัลส์รูปคลื่นเต็มได้

การปรับปรุงผลตอบสนองรูปคลื่นของโวลเตจดีไวเคอร์แบบตัวเก็บประจุสามารถทำได้ โดยการต่อตัวความต้านทานจริงอนุกรมกับตัวเก็บประจุ ถ้าความต้านทานมีค่าไม่สูงจนเกินไป แต่เพียงพอที่จะหน่วงการแกว่ง จะได้ผลตอบสนองรูปคลื่นที่ดี ดังแสดงในรูปที่ 2.15 [5]



$$C = 150 \text{ pF}; \quad L = 2.5 \text{ } \mu\text{H}; \quad C_e = 40 \text{ pF}; \quad C_p = 1 \text{ pF}$$

- (1)  $R = 250 \text{ } \Omega$
- (2)  $R = 750 \text{ } \Omega$
- (3)  $R = 1000 \text{ } \Omega$
- (4)  $R = 2000 \text{ } \Omega$

$$4 \sqrt{\frac{L}{C_e}} = 1000 \text{ } \Omega$$

รูปที่ 2.15 ผลตอบสนองรูปคลื่นของโวลเตจดีไวเคอร์แบบตัวเก็บประจุมีความต้านทานหน่วง ที่ได้จากกรณคำนวณ [5]

จากรูปจะ ได้ความต้านทานหน่วงที่เหมาะสมมีค่าเป็น

$$R \approx 4 \sqrt{\frac{L}{C_e}} \quad (2.28)$$

และเวลาตอบสนองของโวลเตจดีไวเคอร์สามารถคำนวณได้เป็น

$$T_N = \frac{RC_e}{6} \quad (2.29)$$

จากสมการ (2.29) จะเห็นได้ว่าเวลาตอบสนองของโวลเตจดีไวเซอร์แบบนี้จะเร็วมาก เนื่องจากความต้านทานหน่วงที่มีค่าต่ำ นอกจากนี้ ตัวความต้านทานหน่วงก็จะไม่ไหลคมาก เนื่องจากกระแสที่ไหลผ่านโวลเตจดีไวเซอร์เกิดจากแรงดันทรานเซียนด์ขาเข้าเท่านั้น

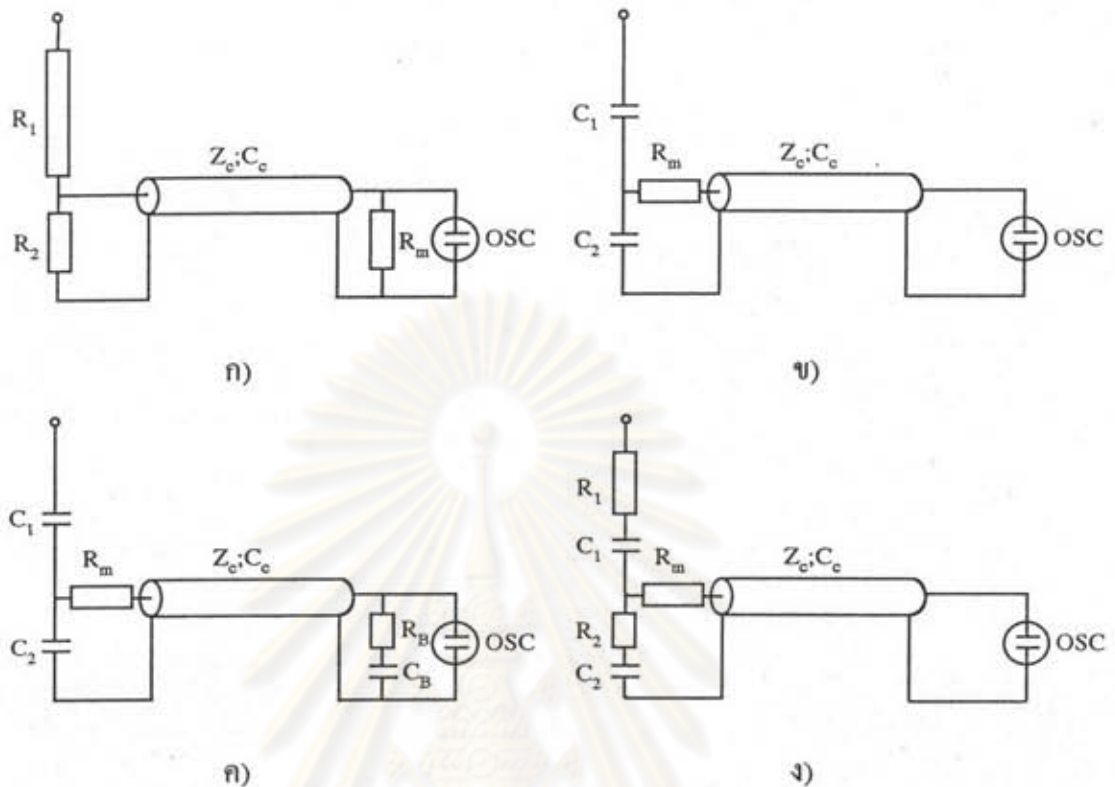
ในกรณีที่ต้องการวัดเพียงค่าของแรงดันอิมพัลส์รูปคลื่นเต็ม สามารถปรับปรุงผลตอบสนองของโวลเตจดีไวเซอร์ได้โดยการใส่ตัวความต้านทานหน่วงภายนอก ซึ่งค่าเวลาตอบสนองของโวลเตจดีไวเซอร์จะขึ้นอยู่กับค่าคงตัวเวลา  $R_d C$  โดยที่  $C$  คือค่าเก็บประจุภาคแรงสูงของโวลเตจดีไวเซอร์ ซึ่งค่าคงตัวเวลานี้ไม่ควรเกิน 150 ns [6]

## 2.5 การต่อเมทซิงในภาคแรงต่ำของระบบวัด

ในการวัดแรงดันทรานเซียนด์ที่ส่งผ่านจากโวลเตจดีไวเซอร์ไปยังเครื่องมือวัด ภาคแรงต่ำของโวลเตจดีไวเซอร์อาจทำให้เกิดการผิดเพี้ยนของรูปคลื่นแรงดันได้ ในที่นี้ จะพิจารณาการต่อเมทซิงอิมพีแดนซ์เพื่อส่งผ่านแรงดันอิมพัลส์จากโวลเตจดีไวเซอร์ไปยังเครื่องมือวัด

โดยที่เคเบิลวัดจะพิจารณาเป็นสายส่งแบบไม่มีพลังงานสูญเสีย ดังนั้น ค่าเสรีจอิมพีแดนซ์  $Z_c = \sqrt{L_c / C_c}$  จึงไม่ขึ้นอยู่กับความถี่และเวลาค้นเดินทาง  $\tau_c = \sqrt{L_c C_c}$  มีค่าที่แน่นอน สำหรับโวลเตจดีไวเซอร์แบบความต้านทาน การต่อเมทซิงสามารถทำได้ง่ายๆ โดยการต่อตัวความต้านทาน  $R_m = Z_c$  ที่ปลายทางของเคเบิลวัด ซึ่งทำให้สัมประสิทธิ์การสะท้อนมีค่าเป็นศูนย์ แรงดันที่ตกคร่อม  $R_2$  และส่งผ่านเคเบิลวัดจะไม่เกิดการผิดเพี้ยน เนื่องจากค่าอิมพีแดนซ์ขาเข้าของเคเบิลวัดคือ  $R_m = Z_c$  ค่าความต้านทานนี้จะต่อขนานเข้ากับ  $R_2$  ดังนั้น จึงต้องพิจารณาเป็นส่วนหนึ่งของภาคแรงต่ำของโวลเตจดีไวเซอร์

ในกรณีโวลเตจดีไวเซอร์แบบตัวเก็บประจุ เคเบิลวัดไม่สามารถที่จะต่อเมทซิงที่ปลายทางได้ เนื่องจากความต้านทานที่มีค่าต่ำเมื่อต่อขนานเข้ากับ  $C_2$  จะไปไหลคภาคแรงต่ำของโวลเตจดีไวเซอร์และแรงดันขาออกจะมีขนาดลดลงตามเวลา เพื่อหลีกเลี่ยงการแกว่งของคลื่นเดินทาง เคเบิลวัดจึงควรต่อเมทซิงที่ต้นทาง แรงดันที่ตกคร่อม  $C_2$  จะแบ่งครึ่งโดย  $R_m = Z_c$  ที่ต้นทางของเคเบิลวัด เมื่อแรงดันที่แบ่งครึ่งนี้เดินทางไปถึงปลายเคเบิลวัด ซึ่งมีลักษณะเป็นวงจรเปิด จะทำให้เกิดคลื่นสะท้อนกลับเท่าตัว ดังนั้น แรงดันที่ปรากฏที่เครื่องมือวัดจะมีค่าเท่ากับแรงดันที่ตกคร่อม  $C_2$  เมื่อคลื่นสะท้อนกลับมาถึงต้นทางที่มี  $R_m = Z_c$  ต่ออนุกรมอยู่และ  $C_2$  เสมือนกับลัดวงจร จึงไม่ทำให้เกิดคลื่นสะท้อนกลับอีก



รูปที่ 2.16 วงจรสมมูลของการต่อแมทซิงสำหรับโวลเตจดีไวเดอร์แบบต่างๆ

ก) แบบความต้านทาน

ข) แบบตัวเก็บประจุ แมทซิงธรรมดา

ค) แบบตัวเก็บประจุ แมทซิงชดเชย

ง) แบบตัวเก็บประจุมีความต้านทานหน่วง แมทซิงธรรมดา

ในทางปฏิบัติ  $C_2$  มีค่าที่แน่นอนและจะคายประจุในภาวทรานเซียนต์ จากการคำนวณพบว่า ช่วงเวลาการคายประจุมีค่าประมาณ 2 เท่าของเวลาค้นเดินทาง หลังจากช่วงเวลานี้ ค่าเก็บประจุของเคเบิลวัดจะอัดประจุจนเต็ม จึงทำให้โวลเตจดีไวเดอร์มีค่าสเกลแฟกเตอร์ 2 เท่า คือ

$$n_o = \frac{C_1 + C_2}{C_1} \quad \text{ที่ } t = 0$$

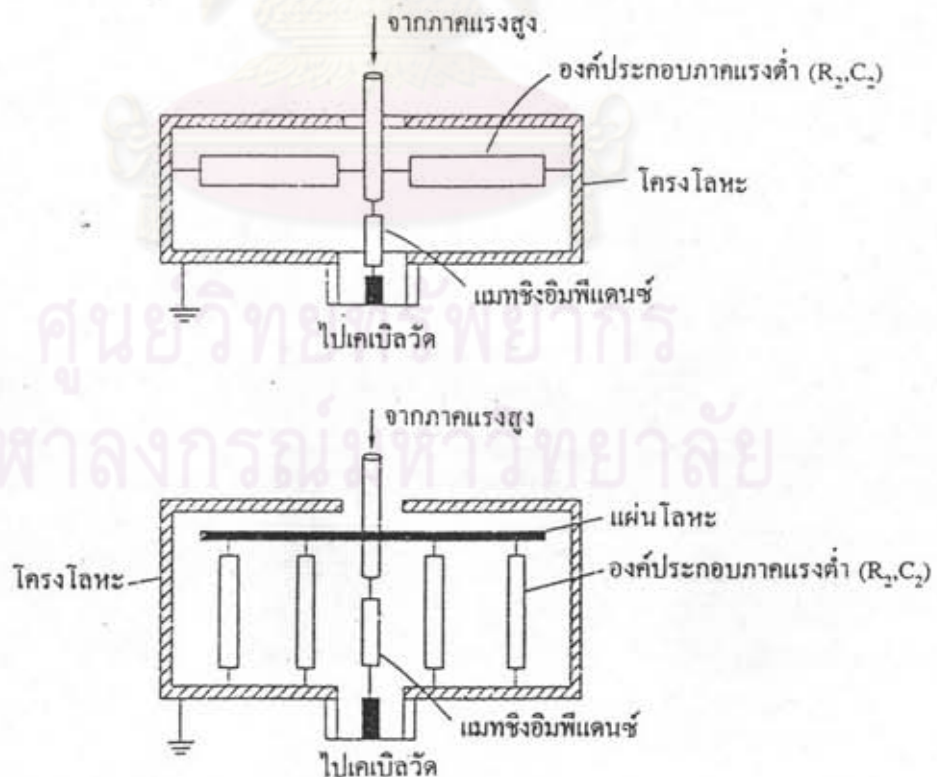
$$n_e = \frac{C_1 + C_2 + C_c}{C_1} \quad \text{ที่ } t \geq 2\tau_c$$

ดังนั้น เคเบิลวัดจึงทำให้เกิดส่วนพุ่งเกิน  $\Delta V = (n_e / n_o) - 1 = C_c / (C_1 + C_2)$  ซึ่งอาจหลีกเลี่ยงผลกระทบนี้ได้ในกรณีที่เคเบิลวัดมีขนาดสั้นหรือ  $C_2$  มีค่าสูงมากๆ อย่างไรก็ตาม การปรับปรุงผลตอบสนองสามารถทำได้โดยการถ่ายโอนตัวเก็บประจุภาคแรงต่ำ  $C_2$  บางส่วนไปยัง



ปลายทางของเคเบิลวัดและต่อตัวเก็บประจุที่อนุกรมกับตัวความต้านทาน ดังในรูปที่ 2.16ค) เทคนิคนี้นำเสนอขึ้นครั้งแรกโดย Burch ดังผลสรุปใน [5] โดยมีวัตถุประสงค์เพื่อลดผลกระทบจากส่วนพุ่งเกินนี้ Burch เสนอให้ใช้ความต้านทานเมทซิงทั้ง 2 ตัวมีค่าเท่ากันและเท่ากับเสิร์จอิมพีแดนซ์ นั่นคือ  $R_m = R_B = Z_C$  และปรับให้  $C_1 + C_2 = C_B + C_C$  ซึ่งจะทำให้แรงดันที่เวลาเริ่มต้นและที่เวลาอนันต์มีค่าเดียวกัน และส่วนพุ่งเกินลดลงเหลือประมาณ 1/6 ในกรณีที่  $R_m \neq R_B$  เงื่อนไขจะเปลี่ยนไปเป็น  $Z_C(C_1 + C_2) = R_B(C_B + C_C)$  [9] สำหรับโวลเตจดีไวเดอร์แบบตัวเก็บประจุมีความต้านทานหน่วง ดังแสดงในรูปที่ 2.16ง) เนื่องจาก  $R_2$  มีค่าน้อยมากเมื่อเทียบกับ  $R_1$  ค่าความต้านทานเมทซิงจึงมีค่าลดลงเล็กน้อย นั่นคือ  $R_m = Z_C - R_2$  และวิธีการต่อเมทซิงดังแสดงในรูปที่ 2.16ค) สามารถนำมาใช้ในกรณีนี้ได้ด้วย

เนื่องจากตัวความต้านทานที่ต่ออนุกรมกับเคเบิลวัดเป็นส่วนหนึ่งของภาคแรงต่ำของโวลเตจดีไวเดอร์แบบตัวเก็บประจุ ดังนั้น จึงควรระวังไม่ให้ทางลงสู่ดินของกลืนสะท้อนมีค่าความเหนี่ยวนำสูงเกินไป ซึ่งเป็นเงื่อนไขที่จำเป็นสำหรับภาคแรงต่ำของโวลเตจดีไวเดอร์แบบตัวเก็บประจุ การต่อองค์ประกอบภาคแรงต่ำในลักษณะแกนร่วมเป็นวิธีที่ดีในการประกอบสร้าง รูปที่ 2.17 แสดงภาพสเกตช์แสดงภาพตัดขวางของการต่อองค์ประกอบภาคแรงต่ำ



รูปที่ 2.17 ภาพสเกตช์ภาคตัดขวางของการต่อองค์ประกอบภาคแรงต่ำ